

Imagen: Silvana Ricci.

## Boletín mensual del Observatorio Magnético de Pilar

DICIEMBRE 2020

### EL OBSERVATORIO

En el Observatorio Geofísico y Meteorológico de Pilar confluyen diferentes disciplinas, Meteorología, Radiación, Ozono, Sismología y Geomagnetismo. Esta última dentro del Observatorio Magnético Pilar. El Observatorio Magnético Pilar comenzó a operar en 1904 y sus registros datan desde entonces. Cuenta con instrumental el cual posee una configuración clásica acorde a la mayoría de los observatorios magnéticos. En noviembre de 2010, el Observatorio se actualizó con la instalación del Sistema INDIGO (Digital Geomagnetic Observatory) para dar inicio a registros digitales. Luego de pruebas y de ajustes del sistema, en septiembre de 2012, el Observatorio fue aceptado como miembro de INTERMAGNET (Red Magnética Internacional en Tiempo Real).

Autores: María Inés Gil, Silvana Ricci, Jesús González, Sabrina Juarez, M. Laura Cariaga.

Coord. Area Geofísica: Geof. Camila Farías.  
[cfarias@smn.gov.ar](mailto:cfarias@smn.gov.ar)

### **Información sobre Copyright**

Este reporte ha sido producido por empleados del Servicio Meteorológico Nacional con el fin de documentar sus actividades de investigación y desarrollo. El presente trabajo ha tenido cierto nivel de revisión por otros miembros de la institución, pero ninguno de los resultados o juicios expresados aquí presuponen un aval implícito o explícito del Servicio Meteorológico Nacional.

La información aquí presentada puede ser reproducida a condición que la fuente sea adecuadamente citada.

## UBICACIÓN

El Observatorio Magnético se localiza en la ciudad de Pilar, en la Provincia de Córdoba, zona centro de la Argentina. Sus coordenadas corresponden:

- Coordenadas Geográficas: 31°40'00'' S 63°53'00'' W
- Coordenadas Magnéticas: 20°02'00''S 04°00'00''W
- Altura sobre el nivel del mar: 338 nmm.

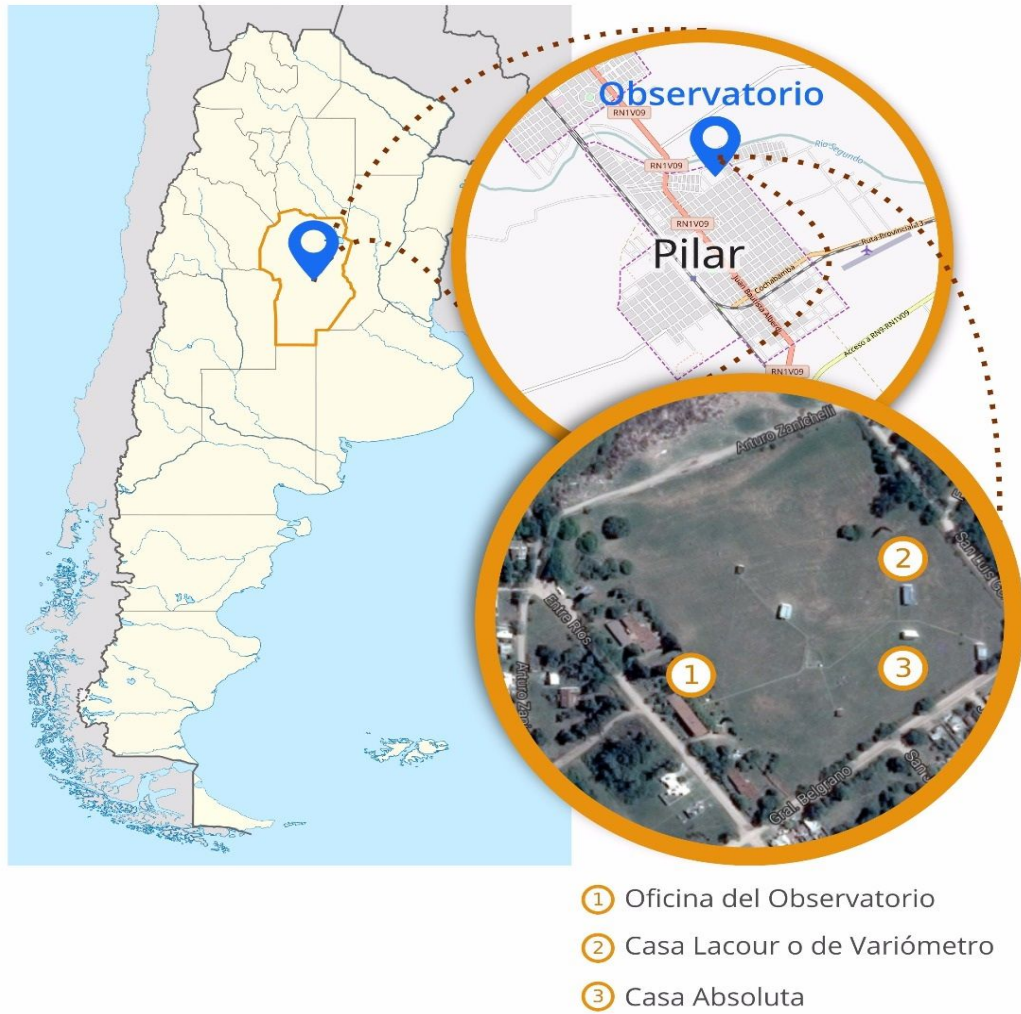


Figura 1: Ubicación del observatorio Pilar

## CONCEPTOS TEÓRICOS

El **campo magnético** terrestre se parece al campo de una larga barra magnética o al de una esfera uniformemente magnetizada.

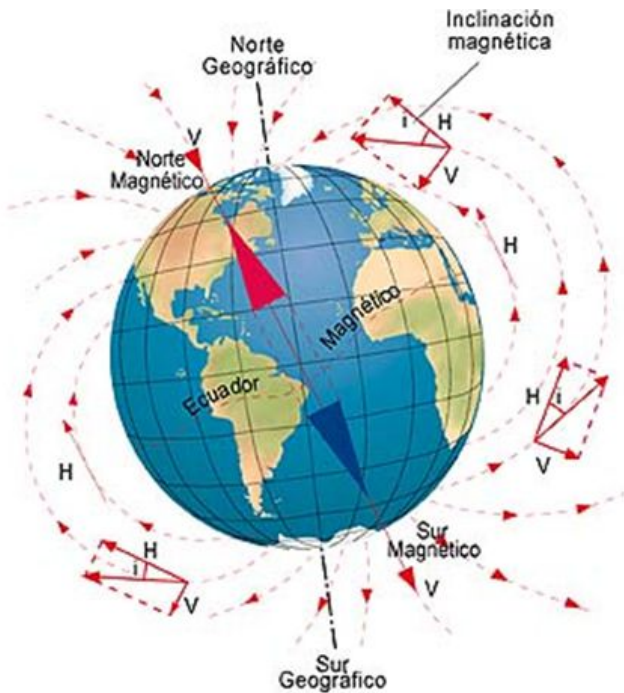


Figura 2: Representación gráfica del campo magnético terrestre

El campo o las líneas de flujo, siguen la trayectoria que muestra la Figura 2. Nótese que la dirección del campo es vertical en los polos magnéticos, y horizontal en el ecuador magnético. El entendimiento de esta geometría es importante para la interpretación de las anomalías magnéticas. La intensidad del campo, es una función de la cantidad de líneas por unidad de área.

La intensidad en la región polar es aproximadamente el **doblo** que en la ecuatorial, oscilando entre los 60.000 y 30.000 gammas o nanoteslas (nT).

Es importante tener en cuenta que el campo Magnético varía tanto en espacio como en tiempo.

### Instrumentos en éste Observatorio.

El Observatorio cuenta con un magnetómetro protónico que registra la intensidad del campo, F, un magnetómetro triaxial fluxgate para registrar la componente horizontal H, vertical Z, y la declinación D, y un teodolito que permite determinar D e I por medio de una observación. En la Figura 3 se presenta un esquema de las componentes del campo magnético enunciadas en este apartado.

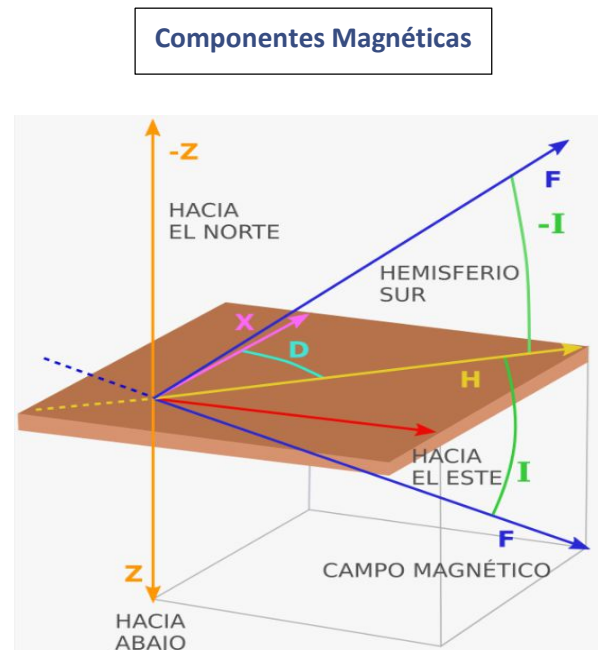


Figura 3: Componentes del campo magnético

## DESCRIPCIÓN SISTEMA INDIGO

Este sistema proporciona el hardware y el software para operar un Observatorio Magnético Digital básico.

El hardware consiste en un magnetómetro triaxial fluxgate, un magnetómetro protónico, un Digitizador, un receptor GPS para proporcionar un tiempo exacto, un registrador de memoria USB y una fuente de alimentación DC alimentada por batería. El software, INDIGO WATCH captura los datos del magnetómetro digitalizado, registra en el disco y realiza el análisis de datos básicos.

## OBSERVATORIO MAGNÉTICO OPERATIVO

El Observatorio opera con Geomagnetic Data Acquisition System (GDAS), el mismo fue desarrollado por la British Geological Survey (BGS). El INDIGO Watch registra las variaciones de las componentes del campo magnético, pero no los valores absolutos. El operador supervisa estas variaciones.

Las observaciones absolutas conjuntamente con los datos obtenidos por el Sistema Indigo, se procesan en el software (GDAS), y producen un registro continuo de los **valores absolutos del campo magnético**.

## INTERMAGNET

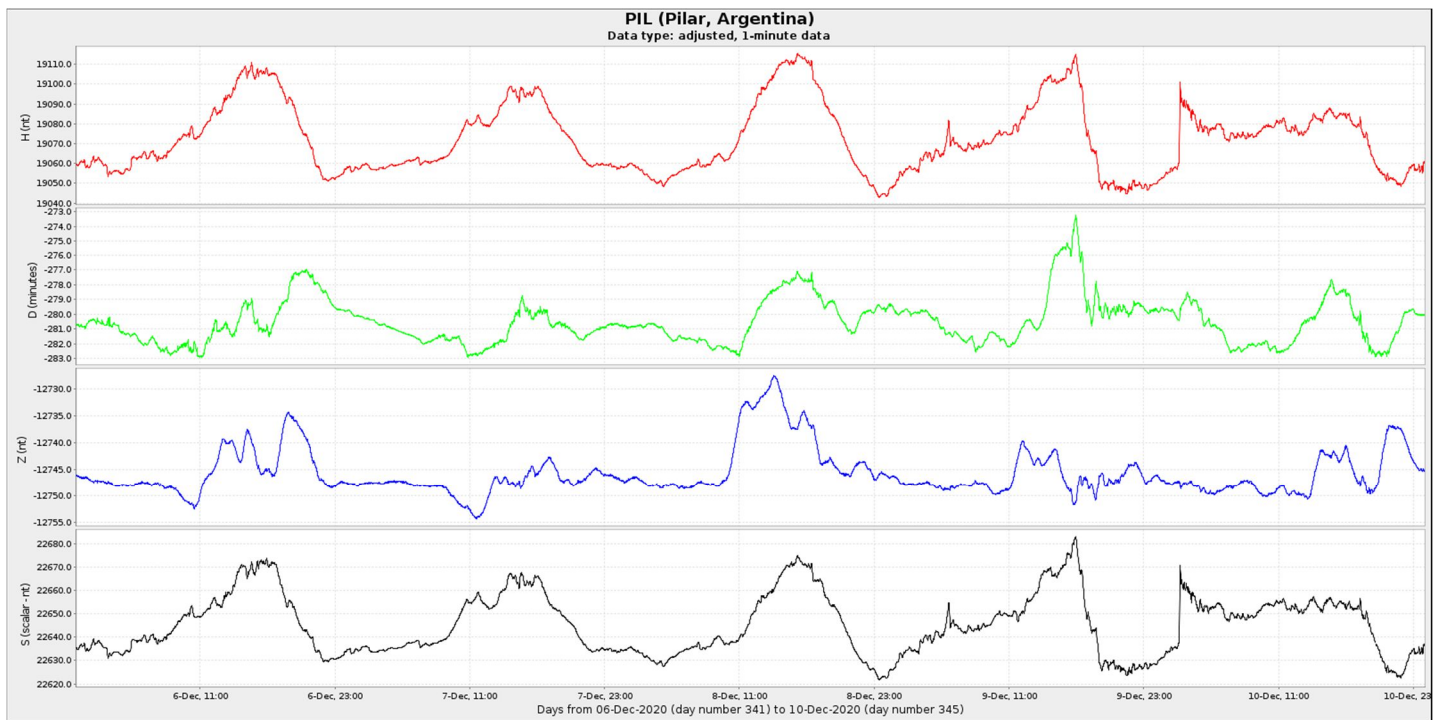
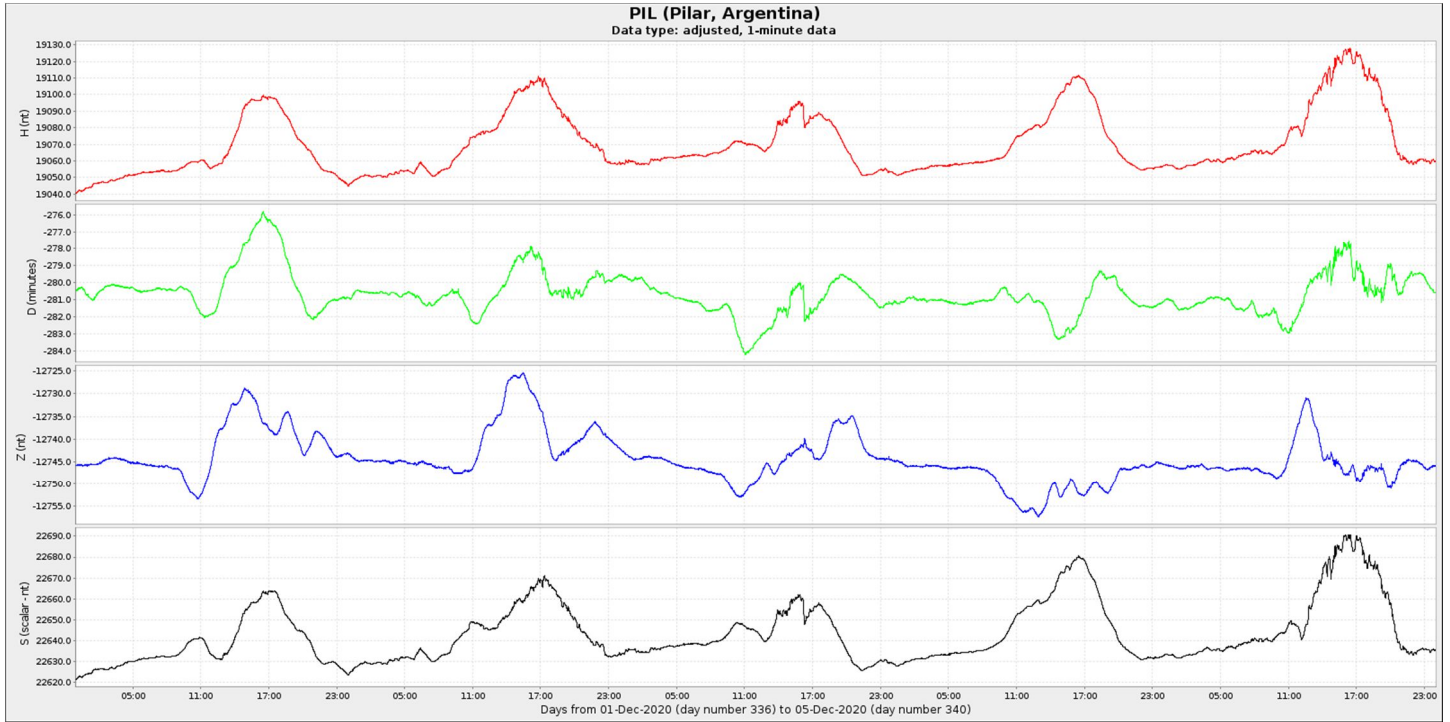
INTERMAGNET es una red mundial de Observatorios Magnéticos que operan casi en tiempo real. El objetivo de INTERMAGNET es establecer una red global de Observatorios Magnéticos digitales que cooperen, adoptando modernas especificaciones estándar para equipos de medición y registro, con el fin de facilitar el intercambio de datos y la elaboración de productos geomagnéticos en tiempo real.

En septiembre de 2012, el Observatorio Magnético Pilar fue aceptado como miembro de INTERMAGNET y las mediciones magnéticas generadas con el Sistema INDIGO en el Observatorio de Pilar, son reportadas diariamente a Edinburgo GIN.

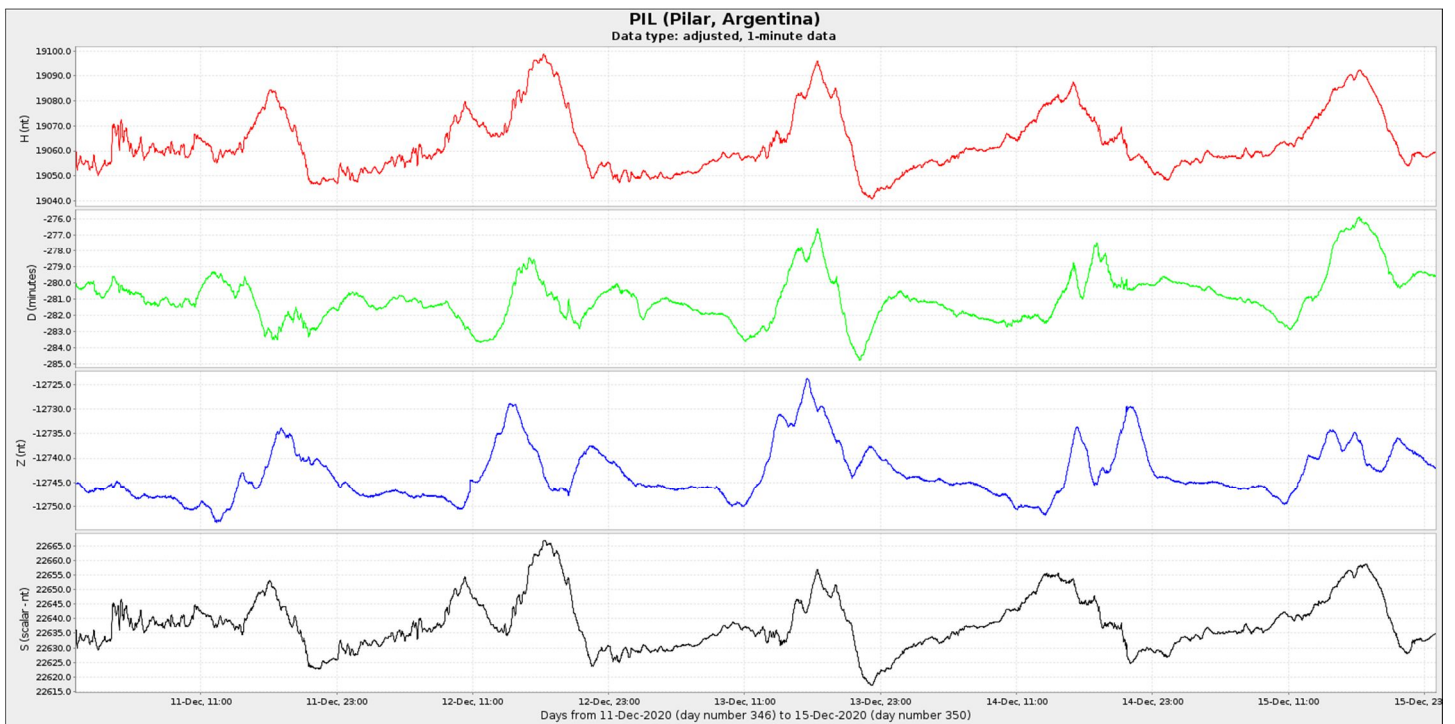
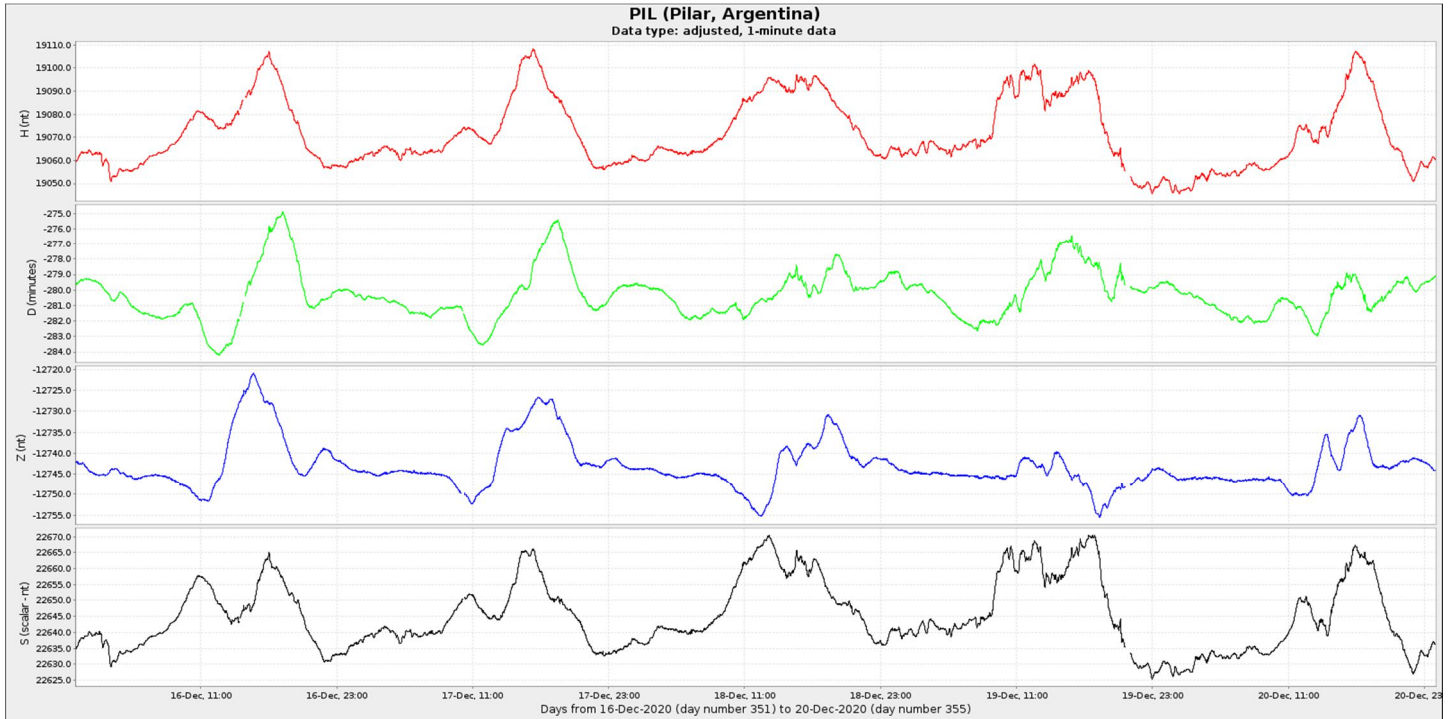
La información se puede visualizar en <http://www.intermagnet.org/data-donnee/dataplot-eng.php>

RED INTERMAGNET

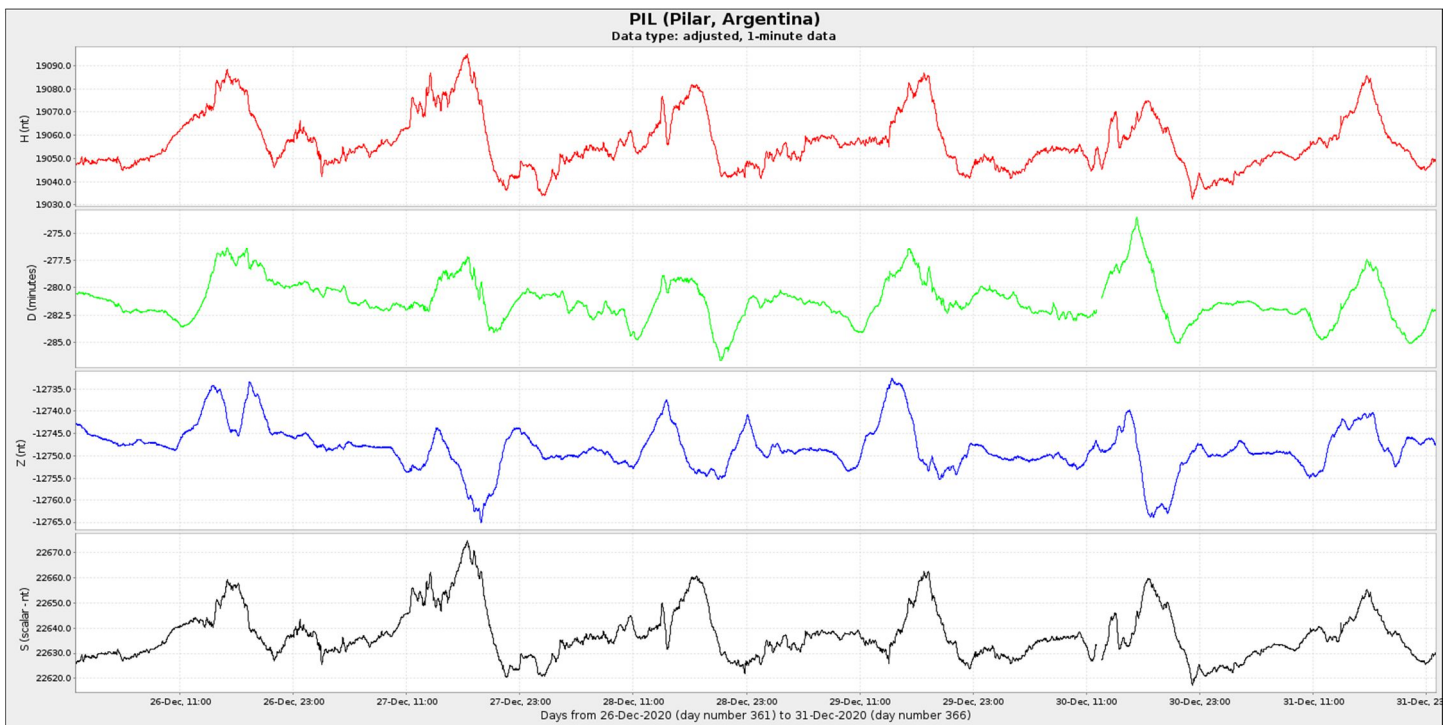
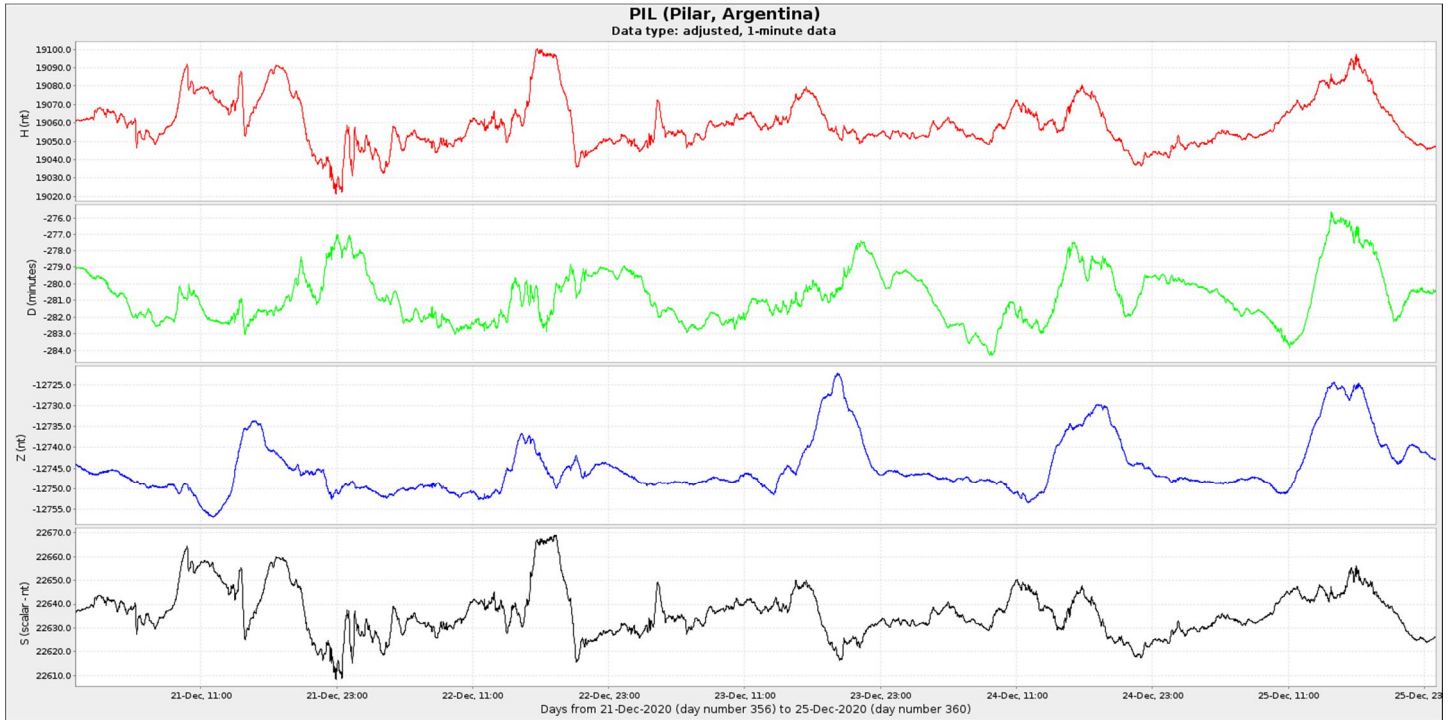
A continuación se presenta la evolución de las componentes del campo magnético para todo el mes de diciembre presentadas a la red INTERMAGNET.



**Figura 4a:** Componentes del campo magnético del día 1al 10 de diciembre. En rojo se ve la componente horizontal (H) y en azul la vertical (Z), ambas en nT. En verde se presenta la declinación del campo magnético (D) en minutos y en negro la intensidad del campo magnético en nT



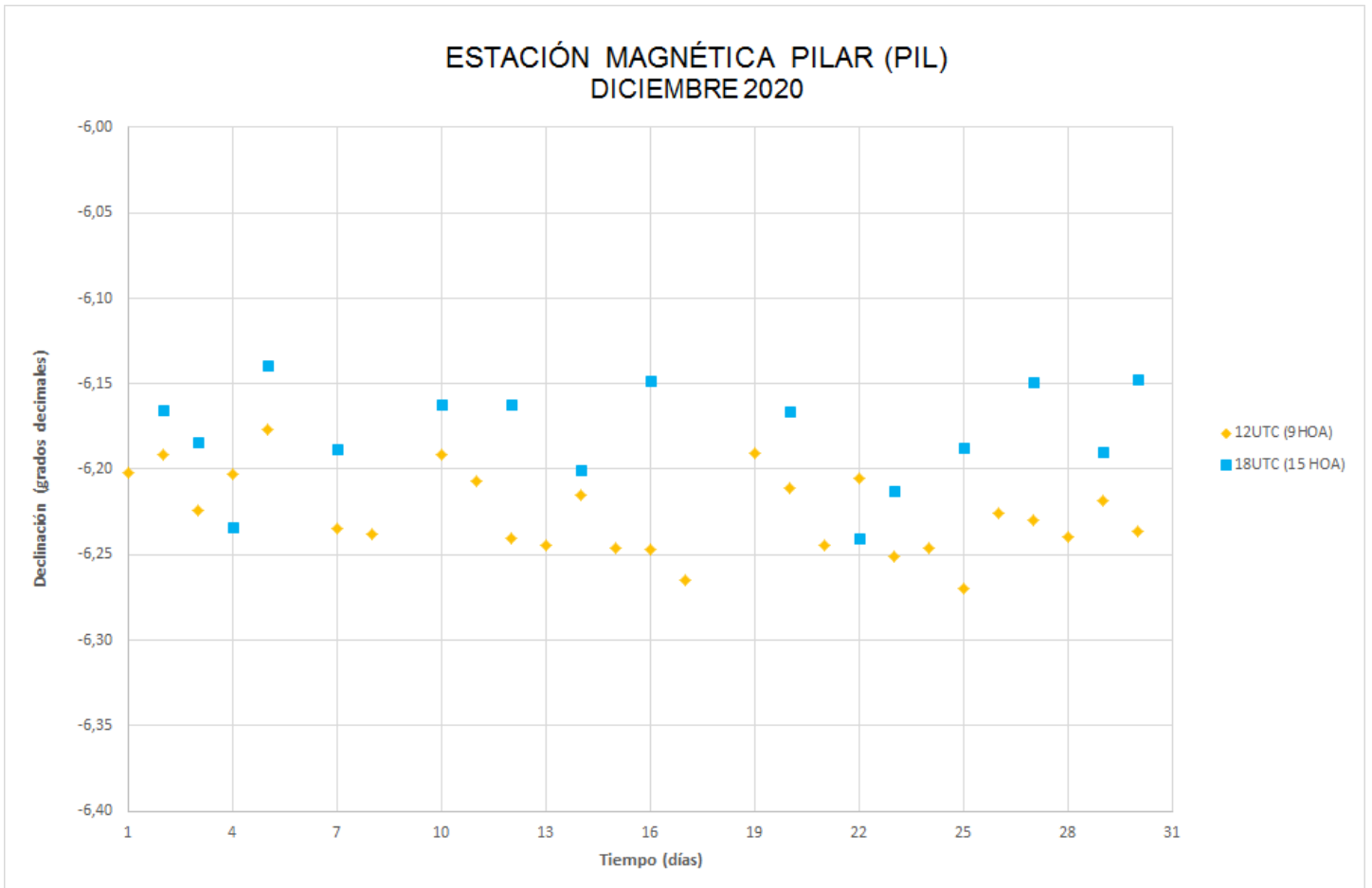
**Figura 4b:** Componentes del campo magnético del 11 al 20 de diciembre. En rojo se ve la componente horizontal (H) y en azul la vertical (Z), ambas en nT. En verde se presenta la declinación del campo magnético (D) en minutos y en negro la intensidad del campo magnético en nT.

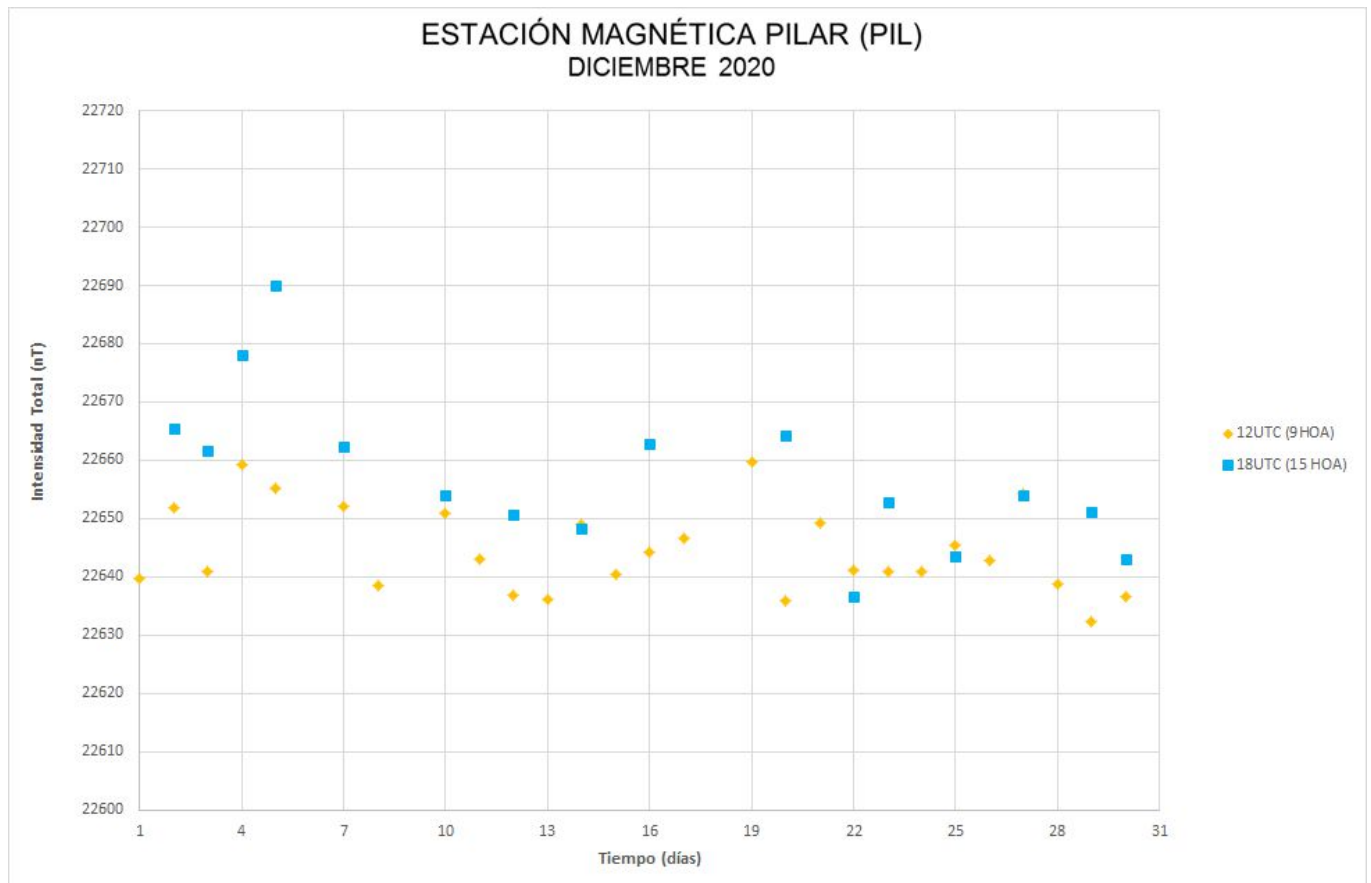
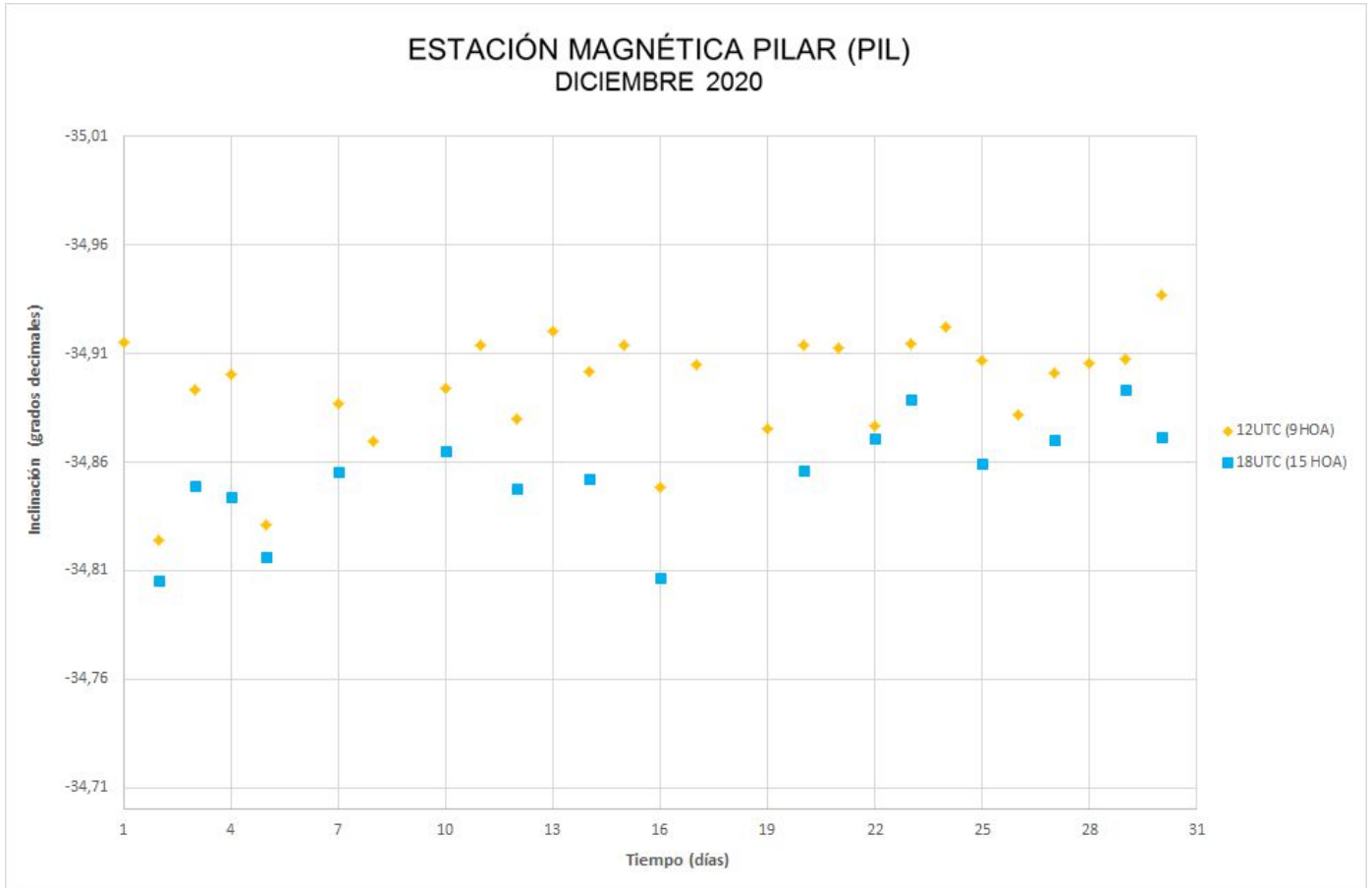


**Figura 4c:** Componentes del campo magnético del 21 al 31 de diciembre. En rojo se ve la componente horizontal (H) y en azul la vertical (Z), ambas en nT. En verde se presenta la declinación del campo magnético (D) en minutos y en negro la intensidad del campo magnético en nT.

**OBSERVACIONES ABSOLUTAS**

A continuación (Figuras 5, 6 y 7) se presenta la evolución temporal durante todo el mes de diciembre de la declinación, la inclinación y la intensidad total del campo magnético a partir de las observaciones absolutas realizadas a las 12 y 15 UTC.





## ECLIPSE SOLAR

El día 14 de diciembre se produjo un eclipse de sol. En este observatorio, donde fue parcial (se puede observar el 65%) se realizaron además de las observaciones absolutas habituales, observaciones en el horario de inicio del eclipse (11:50 HOA), momento máximo (13:18 HOA) y su fin (14:44 HOA).

Cabe aclarar que este plan de trabajo se realizó el día sábado 19, con el objetivo de recopilar datos durante eventos destacados como éste y contar con los mismos horarios de datos para poder compararlos los días posteriores al mismo. La información obtenida será analizada en forma conjunta con el Observatorio de la Base Orcadas, Cipolletti y el registro obtenido en la Base Antártica Científica Carlini, por parte del personal que participa en la Campaña Antártica de Verano (CAV). Dicho análisis será compartido en una publicación específica al tema.



Imagen: Silvana Ricci (Obs Pilar)



Imagen: Ma. Inés Gil (Aguada de Guzman)

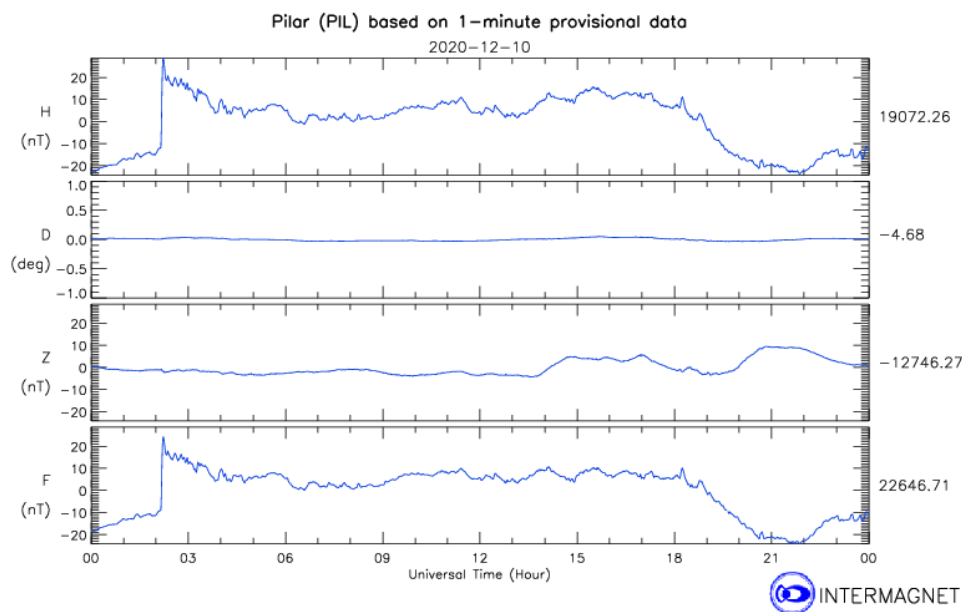


Imagen: Diego Ferrer (Obs Base Orcadas)

## COMENTARIOS FINALES

A los 10 días comenzados el mes de diciembre, una eyección de masa coronal CME a la 1:30 UTC golpea el campo magnético de la Tierra pero para la NOAA, ésta, no causa una tormenta magnética ya que el campo magnético de la Tierra no apuntaba hacia el Sur.

En nuestro instrumental podemos visualizar una alteración en el magnetograma principalmente en la componente H.



El ingreso de viento solar a alta velocidad genera perturbaciones en las componentes magnéticas del Observatorio, los días del 21 al 24, siendo el día 22 cuando se registra la mayor velocidad alcanzada de 245 km/h y el 21 un  $k_p = 4$  al finalizar el día. El 26 una corriente viento salió de la atmosfera del Sol y se registra su llegada en los magnetogramas de Pilar, principalmente en la componente H, los días 27 al 29.

El año finaliza con una pequeña corriente de viento solar que golpea el campo magnético de la Tierra el 30 y 31, la velocidad máxima alcanzada fue de 482 km/h.

Las condiciones del viento solar (velocidad, densidad de protones, temperatura) durante el mes de diciembre pueden verse en el siguiente link:

<https://www.ngdc.noaa.gov/dscovr/portal/index.html#/vis/summary/1m/1543374000000>

Para mayor información sobre lo abordado, consultar el apartado de conceptos teóricos en:

<https://www.smn.gob.ar/informes-climaticos>

<http://repositorio.smn.gob.ar/>